

Přesný elektroměr s impulsním výstupem

Ivo Strašil

Článek popisuje přesný elektroměr třídy přesnosti 0,2 S pro průmyslové použití, vybavený impulsním výstupem s možností rozšíření o komunikační modul pro běžné průmyslové sběrnice.

Elektroměr v uvedeném provedení pracuje s jmenovitým napětím sítě 230 V a s proudy do 4 A (920 VA).

Technické parametry

Jmenovité napětí:	230 V.
Maximální proud:	4 A.
Jmenovitá frekvence sítě:	50 Hz.
Provozní teplota:	0 až 50 °C, jmen. 25 °C.
Třída přesnosti:	TP 0,2 S.
Výstupní signál:	opticky oddělený impulsní výstup 30 mA/50 V.
Rozměry:	35 x 108 x 123 mm.
Hmotnost:	320 g.

Dnešní elektroměry a wattmetry pro síťová zařízení jsou vyráběny prakticky výhradně jako statické přístroje, které vzorkují hodnoty napětí a proudu zátěží a z výsledků digitálně odvozuji činný výkon, odebranou energii a případně další údaje, například účiník nebo jalový výkon.

Princip měření

Činný výkon můžeme určit z efektivní hodnoty napětí a proudu zátěží známým vzorcem takto:

$$P = U \cdot I \cdot \cos \varphi [W; V, A, -] \quad (1),$$

kde φ je fázový posun mezi proudem a napětím.

Odebraná energie je rovna součinu činného výkonu a času měření t :

$$W = P \cdot t \quad [J; W, s] \quad (2),$$

Místo měření z efektivních hodnot a fázového posunu můžeme určit činný výkon obecně pro každý (i neharmonický) průběh napětí a proudu

integrálem součinu okamžitých hodnot napětí a proudu v jedné perio- dě T :

$$P = \frac{1}{T} \int_0^T u(t)i(t)dt \quad [W; s, V, A] \quad (3)$$

Neboť pracujeme se vzorkovanými hodnotami, nahradíme integrál součtem v zvorkách signálu:

$$P = \frac{1}{n} \sum_{j=0}^n u[j]i[j] \quad [W; -, V, A] \quad (4)$$

Ze vzorců (2) a (4) nakonec odvodíme výpočet odebrané energie pro čas měření t a vzorkovací periodu T_{vz} , přičemž předpokládáme, že platí $t = n \cdot T_{vz}$:

$$W = t \cdot \frac{1}{n} \sum_{j=0}^n u[j]i[j] = T_{vz} \sum_{j=0}^n u[j]i[j] \quad [W; -, V, A] \quad (5)$$

Ze vzorců je zřejmé, že pro digitální výpočet odebrané energie potřebujeme znát kromě okamžitých napětí a proudu i přesnou hodnotu vzorkovací periody. Současně musíme dodržet vzorkovací teorém i pro nejvyšší uvažované harmonické frekvence a použít převodníky s dostatečným rozlišením, abychom eliminovali kvantizační chyby.

Rozbor chyb

Z literatury, například [2], je známý princip výpočtu chyby nepřímého měření, tedy měření, kdy výslednou



hodnotu získáváme matematicky výpočtem z více přímo měřených hodnot. Pro nás případ - násobení hodnot platí, že relativní chyba výsledku se rovná součtu relativních chyb všech vstupních veličin.

Celková relativní chyba měření tedy bude maximálně (tedy při shodném směru všech odchylek) rovna součtu relativních odchylek měření napětí, proudu a času:

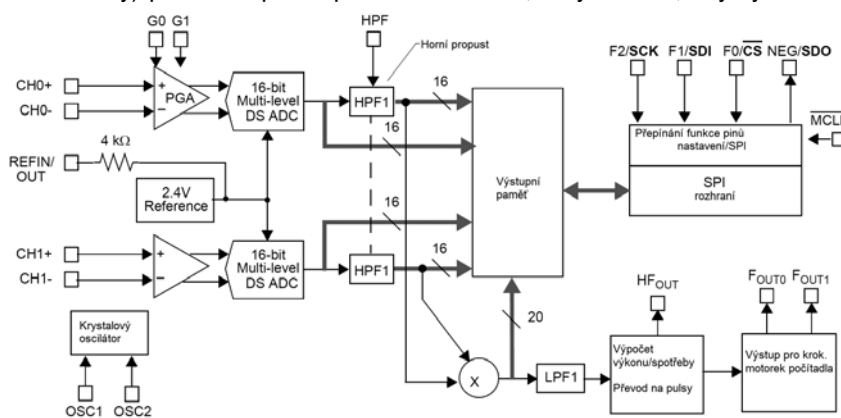
$$\delta = \delta_u + \delta_i + \delta_{T_{vz}} \quad [\%, \%, \%, \%] \quad (6).$$

Použité obvody

V konstrukci je použito několik méně známých zajímavých integrovaných obvodů, které si nyní stručně popíšeme.

MCP3909 je speciální obvod firmy Microchip pro elektronické elektroměry a wattmetry. Obvod v pouzdru SSOP24 sdružuje analogovou i digitální část elektroměru. Z blokového schématu na obr. 1 je zřejmé, že obvod obsahuje dva šestnáctibitové sigma-delta převodníky A/D pro měření napětí a proudu s programovatelnými zesilovači (PGA), zdroj referenčního napětí 2,4 V, krystalový oscilátor a blok digitálního zpracování dat. Ten nejprve odstraní horní propustní stejnosměrnou složku (tedy ofsety převodníků, PGA a termoelektrická napětí) z naměřených hodnot a následně vypočítá aktuální výkon. Data je možné přečíst rozhraním SPI, užít impulsní výstupy Fout0 a Fout1 pro připojení elektromagnetického počítadla nebo dále zpracovat výstupní signál z vývodu HFout. Na něm je k dispozici „vysokofrekvenční“ impulsní výstup, jehož frekvence se pohybuje v jednotkách kHz pro plný rozsah výkonu. Vzorkovací frekvence převodníků obvodu je 28 kHz.

LT1019ACS8-2.5 je přesný zdroj referenčního napětí 2,5 V firmy Linear Technology. Teplotní závislost výstupního napětí obvodu je typicky 3 ppm/°C a maximálně 5 ppm/°C



Obr. 1. Blokové schéma obvodu MCP3909 (převzato z [1])

v rozsahu 0 až 70 °C. Obvod se dodává v pouzdře DIL 8 nebo SO 8.

LPC2138 je 32bitový mikrokontrolér s jádrem ARM7TDMI, dodávaný firmou NXP (bývalou součástkovou divizí firmy Philips). Obvod pracuje s napájecím napětím 3,3 V, hodinovou frekvencí do 60 MHz a disponuje 512 kB paměti Flash a 32 kB paměti RAM.

Popis zapojení

Obvody napájení

Elektroměr je napájen z rozvodné sítě 230 V/50 Hz samostatnými svorkami X1-1, X1-2 (viz schéma na obr. 2). Napájecí zdroj je řešen klasicky s transformátorem 3 VA TR1, Graetzovým můstekem B1 a lineárními „low-drop“ stabilizátory IC4 pro napájení digitálních obvodů napětím 3,3 V a IC1 pro napájení obvodu MCP3909 napětím 5 V.

Zem (vodič GND) obvodů elektroměru je spojena pomocí propájené spojky SJ1 se síťovým napětím na svorce X1-3.

Analogové obvody elektroměru

Měřený obvod se připojuje tříbodově: vstup proudového okruhu („fáze“ od zdroje) na svorku X1-3, výstup proudového okruhu (tedy „fáze“ ke spotřebiči) na svorku X1-4 a střední vodič sítě na svorku X1-6.

Proudový okruh od svorky X1-3 je po ochraně miniaturní pojistkou F2 veden na výstupní svorku X1-4 přes přesný bočník Welvyn OAR3 (R1). Úbytek napětí na bočníku je měřen kanálem 0 obvodu MCP3909 (IC6). Pro případ vážné poruchy jsou do přívodů od bočníku k IC6 zařazeny pojistky F3 a F4.

Měření napětí umožnuje odporový dělič R2/R3/R4, který převádí napětí sítě na signál s rozkmitem napětí kolem 550 mV, měřený kanálem 1 IC6. Pro úplnost dodáme, že vstupy IC6 jsou plně diferenciální a dovolují připojení vstupních napětí v rozsahu až ± 1 V ve vztahu k vývodu AGND IC6.

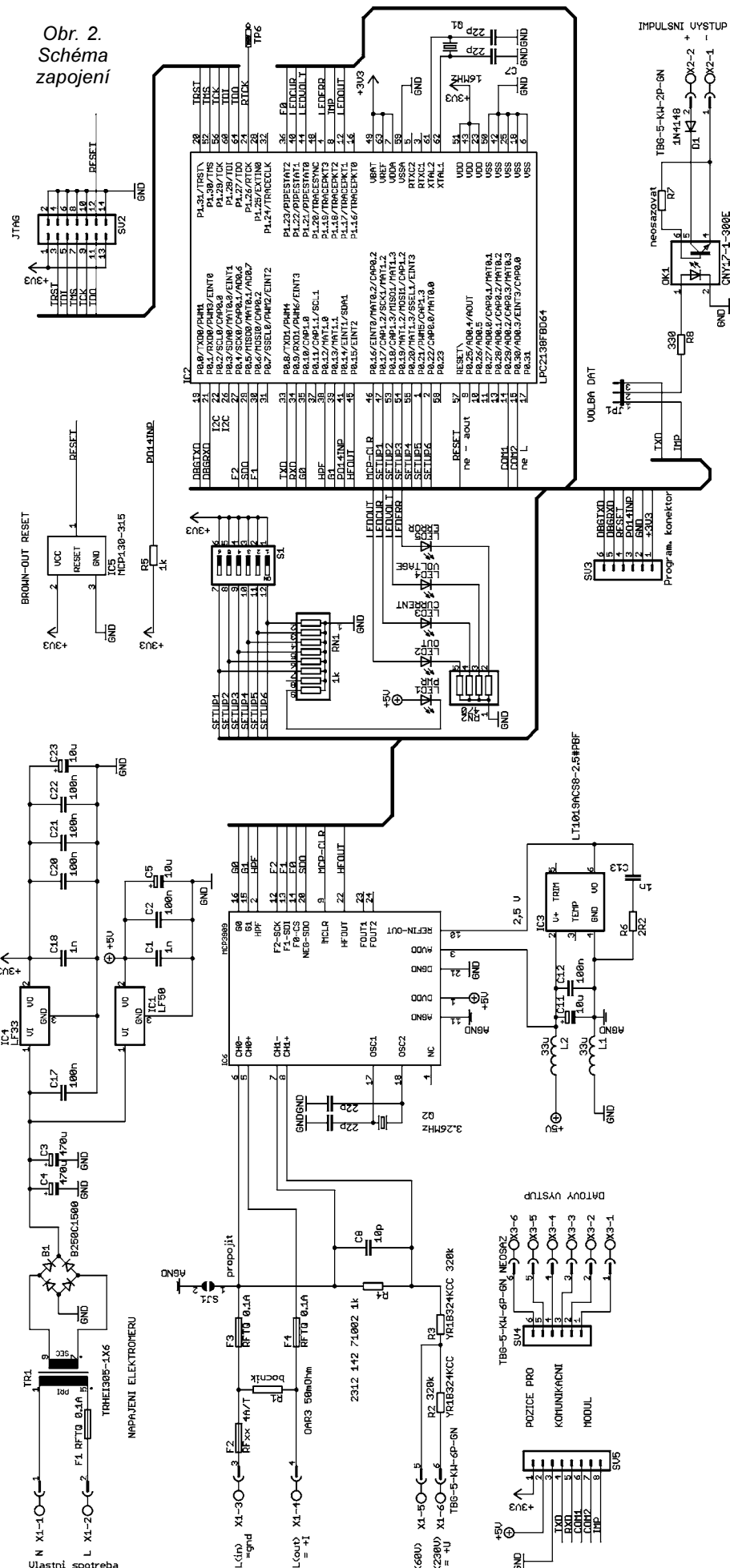
Svorka X1-5 umožňuje měření na sítích o napětí 48 až 60 V bez další specifikace přesnosti.

Analogové obvody přístroje jsou odděleny od digitálních jednoduchým filtrem s tlumivkami L1 a L2.

Obvod MCP3909 umožňuje měření na stejnosměrných sítích s relativně velkou chybou (1 až 5 % podle podmínek), způsobenou termoelektrickými napětími a ofsety převodníků A/D, které se při měření na střídavé sítě neuplatní. Tento režim je nutné povolit příslušným spínačem DIP.

IC6 je vybaven vnitřním zdrojem referenčního napětí s poměrně malým koeficientem teplotní závislosti

Obr. 2.
Schéma
zapojení



Tab. 1. Limity chyb pro TP

Hodnota proudu	Účiník	Max. relativní chyba
0,01 $I_n \leq I < 0,05 I_n$	1,0	0,4 %
0,05 $I_n \leq I < I_{max}$	1,0	0,2 %
0,02 $I_n \leq I < 0,1 I_n$	0,5 induktivní 0,8 kapacitní	0,5 %
0,1 $I_n \leq I < I_{max}$	0,5 induktivní 0,8 kapacitní	0,3 %
Přidavná chyba pro odchylku teploty o 1 °C od jmenovité hodnoty		0,01 % (reálná zátěž) 0,02 % (komplexní zátěž)

typicky 15 ppm/°C. Tento zdroj však již svou tepelnou závislostí nevyhovuje pro měření v uvedené třídě přesnosti 0,2 S (viz níže) a byl tedy nahrazen vnějším zdrojem referenčního napětí LT1019, u něhož je tento koeficient pětkrát nižší.

Zpracování signálu

V základní verzi firmwaru přístroje, která je dostupná na www stránkách autora a na www.aradio.cz, je využit vnitřní výpočet činného výkonu obvodem IC6. Mikrokontrolér IC2 zpracovává impulsy z výstupu HFOUT IC6, dělí jejich počet nastavenou kalibrací konstantou, řídí čtyři kontrolní diody LED a impulsní výstup přístroje.

Parametry přístroje je možné nastavit spínači DIP S1, jejichž stav čte mikrokontrolér pomocí vodičů SETUP1 až SETUP6.

Ladění a nahrávání programu do mikrokontroléru IC2 je možné prostřednictvím sériového rozhraní v úrovni TTL na konektoru SV3, které dovoluje kontakt s bootloaderem IC2, nebo pomocí JTAG rozhraní na konektoru SV2.

Integrovaný obvod IC5 zajišťuje spolehlivý reset mikrokontroléru po zapnutí napájecího napětí nebo při jeho poklesu. Vnitřní obvody resetu IC2 jsou velmi jednoduché a ukázalo se, že připojení vnějšího resetovacího obvodu je pro spolehlivý náběh mikrokontroléru ve většině případu nutné.

Tab. 2. Rozbor chyb měření

Celkové chyby měření			Jmenovitá teplota			Jiná než jmenovitá teplota		
Hodnota proudu	Účiník	Chyba MCP3909	Celková chyba	Meze chyby dle normy	Chyba MCP3909	Celková chyba	Meze chyby dle normy	
0,01 $I_n \leq I < 0,05 I_n$	-	%., jmen. teplota	%., jmen. teplota	%., jmen. teplota	%., +50 °C	%., +50 °C	%., +50 °C	
0,05 $I_n \leq I < I_{max}$	1	0,07	0,21	0,40	0,12	0,26	0,65	
0,02 $I_n \leq I < 0,1 I_n$	1	0,04	0,18	0,20	0,08	0,22	0,45	
0,1 $I_n \leq I < I_{max}$	0,5 induktivní	0,10	0,24	0,50	0,55	0,69	1,00	
	0,5 induktivní	0,08	0,22	0,30	0,12	0,26	0,80	
<i>In = Imax = 4 A</i>								
Zdroje chyb mimo MCP3909			Jmenovitá teplota			Jiná než jmenovitá teplota		
Komponent	Teplotní koeficient ppm/°C	Koeficient vlivu	Vlastní chřev	Změna hodnoty %	Změna tep. okolí °C	Změna hodnoty %		
R1 - bočník	20	1,00	50	0,100	25	0,050		
R4 - děl. napětí	15	0,99	10	0,015	25	0,037		
R2, R3 - děl. napěti	10	0,99	10	0,010	25	0,025		
LT1019 - nap. reference	5	2,00	10	0,010	25	0,025		
Xtal - stámosti	5	1,00	*2	0,001				
Xtal - tepl. závislost	50	1,00	*1	0,005	zaopateno již ve výpočtu pro jm. teplotu			
			Celkem	0,141	Celkem	0,137		
*1	teplotní závislost krystalů se udává v ppm jako poměr největší změny rezonanční frekvence způsobené vlivem teploty v celém teplotním rozsahu součástky k u							
*2	rezonanční frekvenci za jmenovité teploty zaopateno 2 roky stámosti krystalu 5 ppm/rok							

me na základě vzorce (6) relativní chyby, způsobené vnějšími prvky: chybu děliče měření napětí, bočníku měření proudu a chybu měření času krystalovým oscilátorem.

Nejprve vyčíslíme chybu měření proudu bočníkem: vzhledem k tomu, že výrobní nepřesnost bočníku odstraníme jednorázovou kalibrací ve výrobě, je zde jediným podstatným zdrojem chyby teplotní závislost odporu bočníku na teplotě, kdy musíme uvažovat jak změnu teploty okolí přístroje, tak vlastní ohřev bočníku.

Výrobce použitého bočníku R1 udává teplotní koeficient 20 ppm/K. Při plném zatížení R1 byl v uzavřené krabičce elektroměru naměřen náruště jeho teploty o 39 °C, budeme tedy uvažovat s chybou způsobenou vlastním ohřevem maximálně o 50 °C, tedy o 1000 ppm (0,1 %, viz tab. 2). Specifikovaný rozsah provozních teplot přístroje je 0 až 50 °C, můžeme tedy uvažovat s odchylkou maximálně 25 °C od jmenovité teploty.

Další zdroje chyb vypočteme obdobně: u krystalového oscilátoru uvažujeme s jeho teplotní závislostí i stárnutím, u děliče měření napětí uvažujeme teplotní závislosti rezistorů a chybou snížujeme o koeficient udávající relativní vliv změny hodnoty součástky na příslušnou hodnotu. Podrobnosti o tomto postupu jsou uvedeny například ve skriptu [2].

Dále byla do výpočtu zahrnuta teplotní závislost zdroje referenčního napětí LT1019 s koeficientem vlivu rovným dvěma, protože chyba referenčního napětí ovlivňuje současně měření napětí i proudu.

Shrnutí výsledků výpočtu je uvedeno v tab. 2.

Mechanická konstrukce

Přístroj je vestavěn do typizované krabičky Railbox 35 mm v provedení na lištu DIN, kterou v ČR prodává například firma Enika Nová Paka.

Oboustranná deska s plošnými spoji s prokovenými dírami (na obr. 3 až 6) je rozměrově uzpůsoben tomu-

to typu pouzdra. DPS je vyrobena s tloušťkou mědi 75 µm; izolační mezery síťových obvodů splňují požadavek normy na minimální délku povrchové cesty 3,2 mm mezi různými potenciály.

Násuvné svorkovnice jsou osazeny z bočních stran krabičky a využívají připravených otvorů. Krycí panel krabičky má vyříznut otvor pro přístup k spínačům DIP S1 a vyvrtnuté otvory pro indikační diody LED.

Ovládání přístroje

Spínači S1 můžeme nastavovat parametry přístroje podle tab. 3, v tabulce 4 je uveden význam indikačních diod LED.

Spínač č. 6 zapíná zesilovač PGA v IC6 a umožňuje poněkud přesnější měření velmi malých proudu v rozmezí 10 až 300 mA. Pro vyšší proudy již není zlepšení přesnosti zřejmé.

Tab. 4. Význam indikačních LED

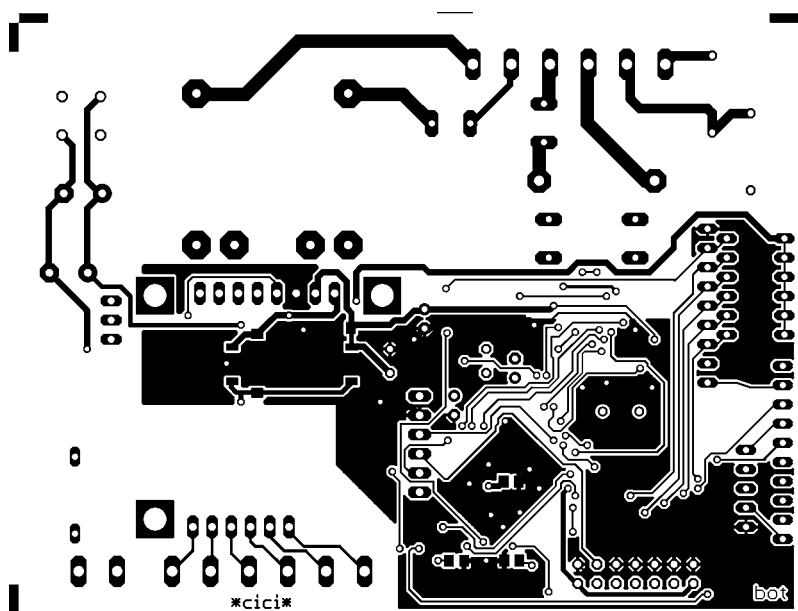
PWR - napájení přístroje je zapojeno.
OUT - blikáním indikuje činnost impulsního výstupu.
REV - svícením indikuje průchod zpětného proudu (činný výkon je přenášen do zdroje).
OPN - svítí, je-li zátěž odpojena nebo je nepatrnná (nižší než asi 5 % rozsahu přístroje).
LD - svítí při připojení zátěži nad asi 2 % rozsahu přístroje.

Zapojení výstupu elektroměru

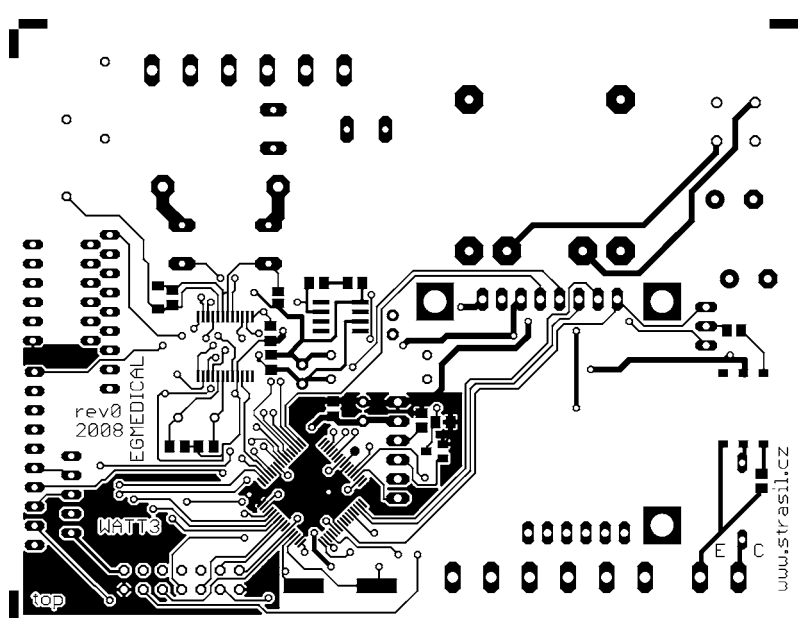
Impulsní výstup elektroměru je určen primárně pro připojení k zařízení automatizační a měřicí techniky - například ke vstupu měřicí ústředny nebo ke vstupu PLC automatu. Oblíbenou aplikací elektroměru je měření výstupního výkonu malé solární elektrárny zpracované malým PLC automatem, který v závislosti na výkonu elektrárny připojuje zátěž tak, aby byl výstupní výkon elektrárny trvale využit.

Tab. 3. Význam spínačů S1

Spínač číslo	Poloha „ON“	Poloha „OFF“
1,2 <i>Převodní konstanta impulsního výstupu</i>	Spínač OFF OFF OFF ON ON OFF ON ON	1 2 Měřítko 100 imp/Wh 50 imp/Wh 10 imp/Wh 10 imp/kWh
3 <i>DC měření</i>	Povoleno měření stejnosměrných proudů a napětí. Přesnost je snížena.	Zakázáno měření stejnosměrných proudů a napětí. Přístroj pracuje s plnou přesností.
4 <i>Měřit vč. zpětného proudu</i>	Zpětný proud je indikován LED na panelu, výstup je po dobu průchodu zpětného proudu aktivní.	Zpětný proud je indikován LED na panelu, výstup je po dobu průchodu zpětného proudu blokován.
5 <i>Napěťový rozsah 60 V</i>	Je zvolen napěťový rozsah 60 V.	Je zvolen napěť. rozsah 230 V.
6 <i>Proudový rozsah 1,7 A</i>	Je zvolen proudový rozsah 1,7 A (přesnosti neuvedeny).	Je zvolen proudový rozsah 4 A (TP 0,2 S).



Obr. 3. DPS elektroměru - strana spojů



Obr. 4. DPS elektroměru – strana součástek

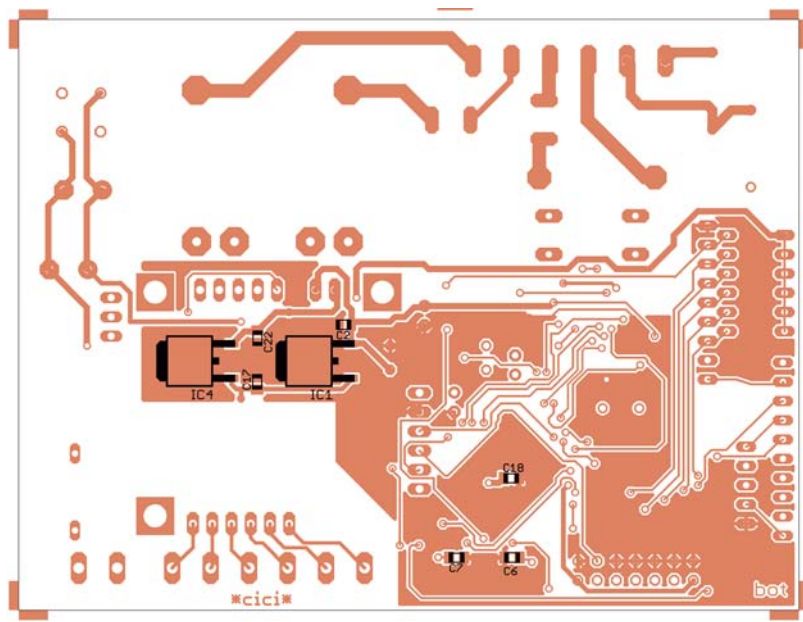
Pro jednodušší aplikace je možné k impulsnímu výstupu, nastavenému na převod 10 impulsů/kWh, připojit běžné elektronické či elektro-

mechanické počítadlo a provozovat zařízení jako samostatný přesný elektroměr.

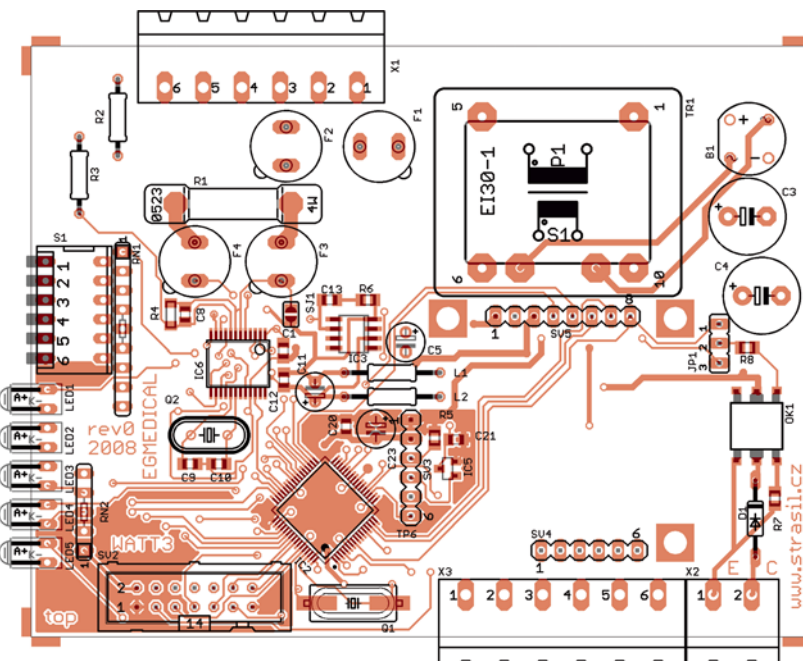
Osazení, oživení a kalibrace

Vlastní osazení desky s plošnými spoji nemá žádné zálužnosti, pouze je vhodné v pozici bočníku R1 odvrátit „prokopy“ desky a bočník zapájet z obou stran DPS, čímž získáme fakticky Kelvinovo připojení odporu bočníku a zamezíme tak sice minimálním, ale existujícím chybám vznikajícím na odporu připojení R1.

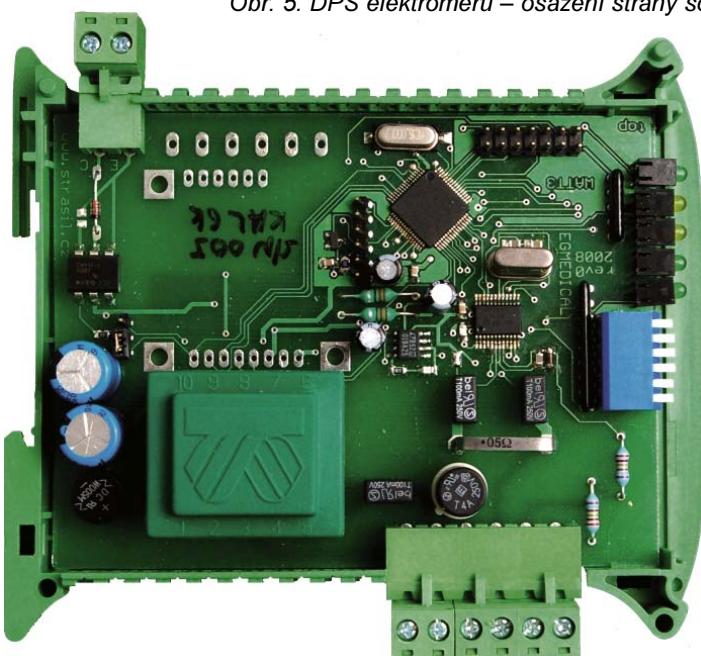
Zapojení by mělo pracovat při pečlivé práci na první zapojení. Po připojení k síti (doporučují použít oddelovací transformátor) nahrajeme programátorem firmware do mikrokontroléra. Nyní by již měl přístroj



Obr. 4. DPS elektroměru - osazení strany spojů



Obr. 5. DPS elektroměru – osazení strany součástek



Obr. 5.
Fotografie
osazené
desky

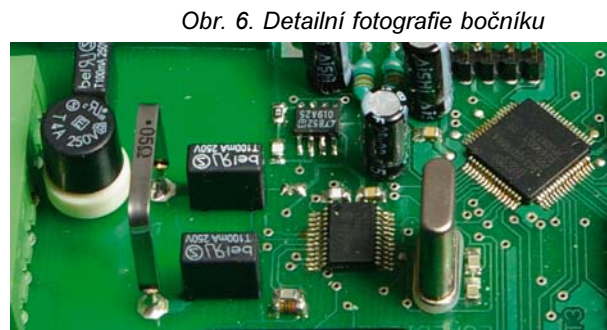
pracovat normálně, pouze se sníženou přesností.

Pro dosažení plné přesnosti je bezpodmínečně nutné přístroj zkalibrovat. Můžeme uskutečnit buď jednobočovou kalibraci a dostavit elektroměr změnou hodnoty jednoho z rezistorů dleliče měření napětí, nebo můžeme připojit přístroj přes galvanicky oddělený převodník TTL RS-232 k sériovému portu počítače a kalibrovat softwarově (postup kalibrace viz www stránky autora).

POZOR! Přístroj je samozřejmě galvanicky spojen s rozvodnou sítí, proto hrozí vážné nebezpečí úrazu! Po zhotovení přístroje doporučujeme alespoň ověřit izolační stavy optického výstupu a napájecího zdroje přístroje.

Seznam součástek

R1	0,05 Ω , 1 %, Welwyn OAR3
R2, R3	320 $k\Omega$, 0,1 %, Phoenix Passive YR1B324KCC
R4	1 $k\Omega$, 0,1 %, Vishay 2312 142 71002 MELF 204
R5, R7	1 $k\Omega$, SMD 0805
R8	330 Ω , SMD 0805
RN1	8x 1 $k\Omega$, 9 pin
RN2	4x 470 Ω , 5 pin
C1, C13, C18	1 nF, NP0, SMD 0805
C2, C12, C17,	
C20 až C22	100 nF, X7R, SMD 0805
C3, C4	470 μ F/25 V, 105 °C
C5, C11,	
C23	10 μ F/25 V, 105 °C
C6, C7,	
C9, C10	22 pF, NP0, SMD 0805
C8	10 pF, NP0, SMD 0805
B1	B250C1500
D1	1N4148
IC1	LF50
IC2	LPC2138FBD64
IC3	LT1019ACS8-2.5#PBF
IC4	LF33
IC5	MCP130-315
IC6	MCP3909
LED1 až LED5	L-943, úhlová, 3 mm
OK1	CNY17-1-300E
Q1	16 MHz
Q2	3,26 MHz
L1, L2	axiální 33 μ H
F1, F3, F4	RFTQ 0,1 A
F2	4 A zpožděná, 5 mm
JP1	lišta 3 pin + 1x jumper



Obr. 6. Detailní fotografie bočníku

Vypínač na DIN lištu

Jan Zima

Tento jednoduchý modul je navržen pro uchycení na lištu DIN pro použití v rozvaděči a slouží k ručnímu zapínání/vypínání spotřebiče (např. cívky stykače apod.).

Jeho schéma je na obr. 1, DPS na obr. 2, rozmístění součástek na DPS na obr. 3 a hotový výrobek před uzavřením na obr. 4.

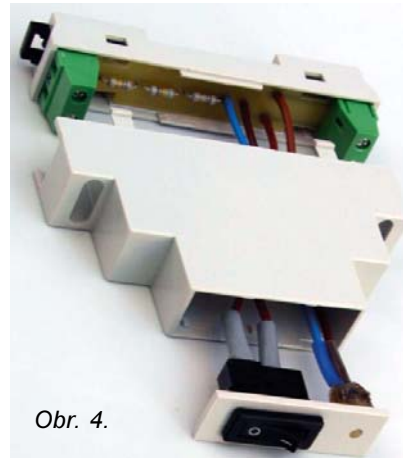
Zapnutý stav je signalizován zelenou doutnavkou, která byla použita z důvodu zanedbatelného odběru (0,25 mA) z napájecího napětí, protože signalizace s LED by byla z hlediska účinnosti velmi nevýhodná. Zelená doutnavka uvedeného typu má při doutnavém výboji úbytek 85 V pro střídavé napětí.

Pokud použijeme jinou doutnavku, je třeba zkontolovat výrobcem uváděný úbytek napětí a případně odpor rezistorů přepočítat. Výrobce sice uvádí dobu života doutnavky 20 000 hodin, ale pokud by byl použit pouze jeden sériový rezistor, pak většinou doutnavka přestane svítit po několika tisících hodinách. Ve většině případů je závada v přerušeném předřadném rezistoru, který na první pohled vyhovuje jak z hlediska napěťového, tak i výkonového zatížení, ale je namáhan impulsním proudem při zapálení doutnavky. Proto se po čase přeruší. Doutnavkové moduly např. do vypínačů jsou výrobci osazeny z „úsporných“ důvodů pouze jedním sériovým rezistorem a spotřebitel je tak po čase (podstatně kratším než je životnost doutnavky) nucen vadný modul zahodit a koupit si jiný. Více rezistorů (R1 až R3) v sérii je tedy použito pro vel-

mi dlouhou a bezproblémovou funkcionalitu signalizace. Napájecí napětí se připojuje na svorky LIN, spotřebič na LOUT (KON2) a nulový vodič pro svít doutnavky na KON1.

Stavba je velmi jednoduchá a bezproblémová i pro začátečníky. Nejprve upravíme svorkovnice MVG2 odříznutím bočních výlisků, které jsou nutné při spojování svorkovnic do řady (s výlisky by se nevešly do krabičky) a DPS osadíme KON1, KON2 i rezistory R1 až R3. Do čelního panelu krabičky vyřízeme obdélníkový otvor pro vypínač, pro doutnavku vytváme otvor o průměru 3 mm a okolo něj vytvoříme několik hlubokých vrypů špičkou ostrého nože (ze strany kontaktů vypínače). Vsuneme i zacvakneme vypínač a připojíme k jeho přívodním kontaktům i k vývodům doutnavky izolované vodiče vhodné délky. Pro připojení doutnavky postačí průřez 0,5 mm², pro vypínač 1 mm² a pájené spoje opatříme izolačními bužírkami.

Na plochu zdrsněnou vrypy nože nanesešme tavnou pistolí hmotu ve vrstvě 1 až 2 mm (okolo otvoru pro doutnavku i přes něj), doutnavku vtláčíme do roztavené hmoty, ze které se část vytlačí otvorem na druhou stranu a vše spolu přidržíme do zchladnutí. Pokud byla roztavená hmota nanesena v rozumné vrstvě, část hmoty



Obr. 4.

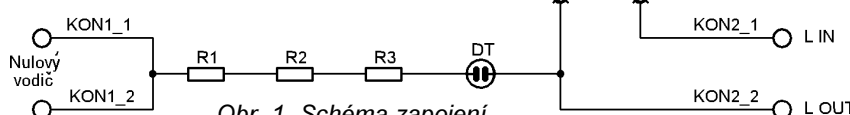
se otvorem protlačila na druhou stranu a vytvořila miniaturní čočku s hladkým povrchem (na první pohled vypadá jako LED). Doutnavku i její vývody upevníme další vrstvou tavné hmoty.

Čelní panel s vypínačem, doutnavkou i přívodními vodiči zacvakneme do těla horní části krabičky, připájíme vodiče do DPS a vše vyzkoušíme v provozu. Pozor pokud nepoužijeme oddělovací transformátor, zařízení je galvanicky spojeno se sítí!

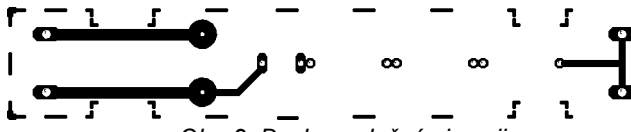
Pokud je vypínač funkční a doutnavka také svítí, pak DPS upevníme do dolní části krabičky opět tavnou pistolí. Tavnou hmotou nyní nešetříme, aby se DPS neuvolnila při montáži drátových vodičů v rozvaděči a krabičku i DPS navzájem přitiskneme až do vychladnutí hmoty. Pak zbývá jen horní i dolní poloviny krabičky zacvaknout do sebe a modul je hotový.

Seznam součástek

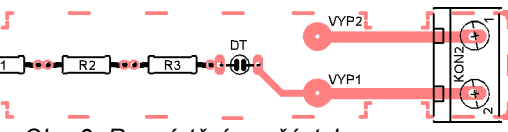
R1, R2, R3	180 kΩ
DT	R782B (zelená)
KON1, KON2 MVG 2 (RM 7,5 mm)	
Vypínač P-T8800VA/AAB01 (1x 10 A /250 V AC)	
Krabička KPDIN6 (široká 1 DIN modul)	



Obr. 1. Schéma zapojení



Obr. 2. Deska s plošnými spoji



Obr. 3. Rozmístění součástek

- S1 „piáno“ DIP switch šestinásobný
- SV2 MLW14
- SV3, SV4, SV5 pinové lišty (celkem 20 pinů)
- TR1 transformátor EI30, 1x 6 V, 2 W
- X 1, X 3 násuvná svorkovnice 6 pinů, 5 mm
- X 2 násuvná svorkovnice 2 piny, 5 mm

Závěr

Popisované zařízení umožnuje přesné měření činného výkonu nebo

odebrané energie v rozsahu až do 920 W. Přístroj splňuje požadavky třídy přesnosti TP 0,2 S podle normy ČSN EN 62053-22.

Pouhou změnou softwaru přístroje je možné doplnit další funkce, například harmonickou analýzu napětí a proudu v síti.

Pokud máte jakékoli náměty, dotazy nebo připomínky, kontaktujte mě prosím na e-mailu: ivo@strasil.net

Podklady pro výrobu DPS, základní firmware a případné doplňu-

jící informace jsou dostupné na mému webu www.strasil.cz.

Literatura

[1] Microchip. Katalogový list MCP3909. <http://ww1.microchip.com/downloads/en/DeviceDoc/22025b.pdf>

[2] Bejček, L.; Čejka, M.; Rez, J.; Gescheidtová, E.; Steinbauer, M.: Měření v elektrotechnice. VUT-FEKT, 2002, 242 s., ISBN: AMT005.